

عکسهای KFA-1000

مشخصات،

خطاهای

سیستماتیک،

دقت هندسی

و

کاربردها

۱) سکو، دوربین و عکس

چکیده
نقطه اتصال بین عکس‌های هوایی و داده‌های سنجندهای رقومی ماهواره‌ای، عکسبرداری ماهواره‌ای باقدرت تفکیک بالا توسط دوربین‌های KWR-1000 و KFA-1000 می‌باشد. در این مقاله مشخصات دوربین و عکس ماهواره‌ای KFA-1000، خطاهای سیستماتیک آن، نحوه حذف آنها، روش‌های توجیه داخلی، تصحیح هندسی، ارزیابی دقیق هندسی و کاربردهای آن بررسی می‌شود.

پیشگفتار:

گروهی از سیستمهای تصویرگر، دوربینهای هستند که محصول آنها در فتوگرامتری، اصطلاحاً عکس (photo) گفته می‌شود. در حالی که تصاویر حاصل از سنجندهای را تصویر (image) می‌نامند. امروزه، عکس‌های فضائی عموماً دارای استحکام هندسی وقدرت تفکیک بیشتری نسبت به تصاویر پیش‌آمدهای هستند. با افزایش فاصله کانونی دوربینهای ماهواره‌ای متريک، تاحدی افزایش قدرت تفکیک عکس‌های ماهواره‌ای را بدنبال داشته است. استفاده از عکس‌های فضائی به منظور تهیه نقشه در غرب، از سال ۱۹۸۳ میلادی در اروپا مأموریت آزمایشگاه فضائی Spacelab-1 که حامل دوربین متريک (MC) بود، آغاز گردید. یک سال بعد سازمان فضائي آمريکا دوربین با ابعاد بزرگ (LFC) را به فضا فرستاد، که مدت استفاده از این دو دوربین کوتاه بود و از سال ۱۹۷۴ میلادی پژوههای ماهواره کاسموس، آغاز گردید که از سال ۱۹۸۷ میلادی محصولات دوربینهای فضائی آن در دسترس قرار گرفت.

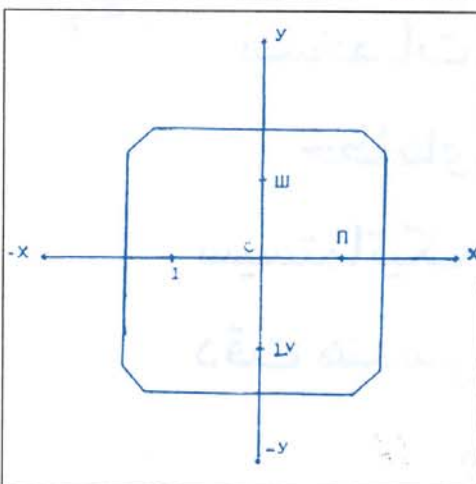
روش‌ها از دهه هفتاد چنین سکوی فضائی و دوربین مشاهدات زمینی را طراحی و ساخته‌اند. این دوربینها در ابتداء توسط آژانس فضائی پراودا و توسط موشک RESOURCE-F بستدریج در مدار خود قرار گرفتند. دوربین متريک KFA-1000 بهمراه دوربین ۲۰۰ - Kate از اوپلن گامهای آژانس فضائی پراودا بوده است که از سال ۱۹۷۴ میلادی در پژوههای چند ماهه که هر سال تکرار می‌شد، آغاز گردید. دوربین KFA-1000 در مأموریه کاسموس یک (CDSMOS 1) توسط موشک (RESOURCE-F) در مدار دایره شکل بازاویه انحراف ۸۲° و ارتفاع مدار حدود ۲۷۰ کیلومتر قرار گرفت.

دوربین فضائی KFA-1000 یک دوربین متريک تک قاب مجهریه عدسی با فاصله کانونی ۱۰۰۰ میلی‌متر می‌باشد. کل قاب در یک لحظه ایجاد شده و در این حالت احتیاج به معرفی پارامتر زمان در مدل ریاضی نیست.

دوره هفتم، شماره بیست و هفتم / ۴۱

نگارش: مهندس سعید صادقیان
(دانشجوی دکترا فتوگرامتری دانشگاه تهران)

معمولًا سیستم دوربین KFA-1000 از دو دوربین کنار هم که نسبت به نقطه ناوبر زاویه نیلت (امگ) ۸ درجه دارند، تشکیل شده است. به صورتی که زاویه دوران بین دو دوربین ۱۶° می‌باشد (نگاره ۱) و این در حالی است که مجموعه دو دوربین زاویه میل ۸۲° نسبت به قطب دارد. البته دوربینهای KFA-1000 به صورت تک دوربین و همچنین سه پهلویاک دوربین درمانداد قائم و دو دوربین به صورت مابین به کاربرده شده‌اند. در این وضعیت امکان آخذ پوشش با عرض گذر ۲۲۰ کیلومتری باشد.

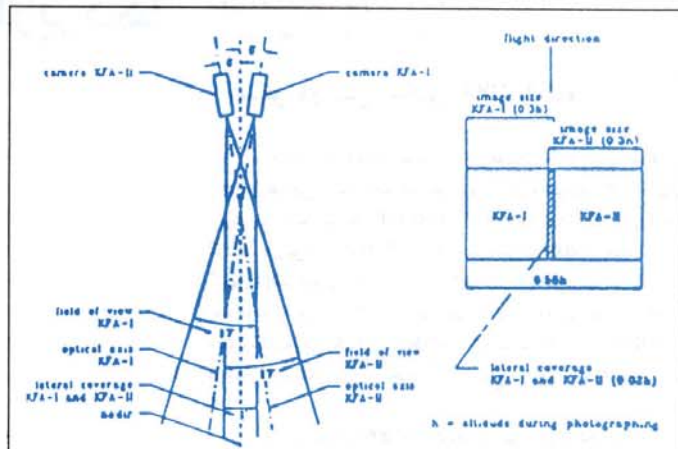


نگاره ۲ - فیدوشال مارک‌های عکس KFA-1000

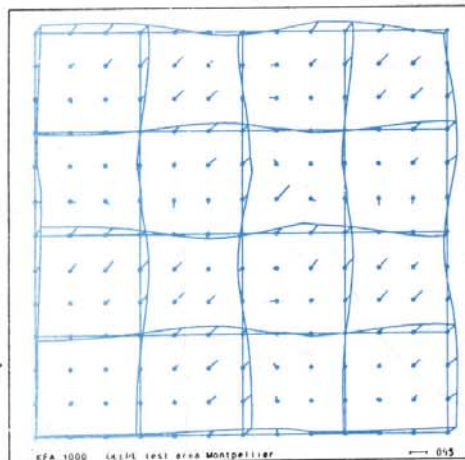
از سال ۱۹۹۴ میلادی سیستم دوربین KFA-1000 به همراه سیستم‌های جدید دیگر بر روی ایستگاه فضایی میر (MIR) نصب شده‌اند که از نظر جمجم آوری داده‌های مشاهداتی بسیار ارزشمند است. تفاوت عمده تصاویر KFA-1000 ماهواره کاسموس و ایستگاه فضایی میر در اختلاف مقیاس ۱:۷۰,۰۰۰ در مقابل ۱:۴۰,۰۰۰ است که به خاطر ارتفاع زیاد ایستگاه میر می‌باشد. علاوه بر این زاویه میل ایستگاه فضایی (۵۱/۶°) امکانات مفیدی برای مشاهدات زمینی، سایر سیستم‌ها بایجاد نموده است.

دوربین KFA-1000 در اصل به منظور مقاصد تفسیری طراحی گردید. اما علاوه و افزای در ایستگاه استفاده از این تصاویر در تهیه نقشه‌های توپوگرافی متوسط مقیاس به دلیل قدرت تفکیک خوب آن (در حدود ۵۰ متر) وجود آمده

مدل تمام قاب به صورت سیستم تصویر مرکزی و حالات متداول معادلات فنوتکنیکی است. به منظور افزایش تقدرت تفکیک فاصله کانونی نیز افزایش یافته است. زیرا قدرت تفکیک بالا نیاز به فاصله کانونی زیاد دارد که موجب می‌گردد زاویه دید کوچک شود و زاویه دید کوچک منجر به کم شدن نسبت پایزی ارتفاع هواز و درنتیجه کمی دقت ارتفاعی می‌گردد عکس‌های فضائی KFA-1000 با پوشش طولی ۶۰/۰ و فاصله کانونی حدود یک متردارای $B = 1/12$ می‌باشد که علی رغم افزایش ابعاد قاب از $30 \times 30 \text{ cm}$ کمکان دقت ارتفاعی این عکس‌ها کم است. عکس‌برداری فضائی با KFA-1000 ابتداءً باستفاده از فیلم پانکروماتیک و مقیاس ۱:۲۴,۰۰۰ و قدرت تفکیک زمینی (۵-۷) متر انجام شد. کیفیت بالای فیلم‌های سفی، قابلیت بزرگنمایی، تام‌مقیاس ۱:۲۴,۰۰۰ پیشرفت وسیع‌بود کیفیت فیلم‌های رنگی Spectrozonal دوربین KFA-1000 اکنون پیشتر برای عکس‌برداری رنگی فضائی بکار می‌رود زیرا که آنها اطلاعات را بر روی دولایه امولسیون حساس شده و در محدوده طول موج‌های ۶۸-۸۰/۰ و ۵۷-۸۱/۰ میکرومتر ضبط می‌کنند. قدرت تفکیک زمینی KFA-1000 با فیلم Spectrozonal تقریباً ۱۰ متر است. تشخیص نقاط کنترل در عکس‌های فضائی کاملاً بستگی به قدرت تفکیک فضائی عکسها دارد و با توجه به قدرت تفکیک خوب عکس‌های KFA-1000 مشکل جدی در زمینه تشخیص نقاط کنترل زمینی وجود ندارد البته رنگی بودن نیلم KFA-1000 موجب تشخیص بهتر عوارضی نمود (Baker, 1991). هر حلقه فیلم توانانی ثبت ۱۵۰۰ تصویر را داراست. بدین پردازش و انجام عملیات چاپ بر روی فیلمها، شماره تصویر، شماره دوربین، فاصله کانونی، زمان و تاریخ حک می‌شوند. فیلم دوربین KFA-1000 پس از اتمام کارتوس طی مدتی زمین باز می‌گردد.



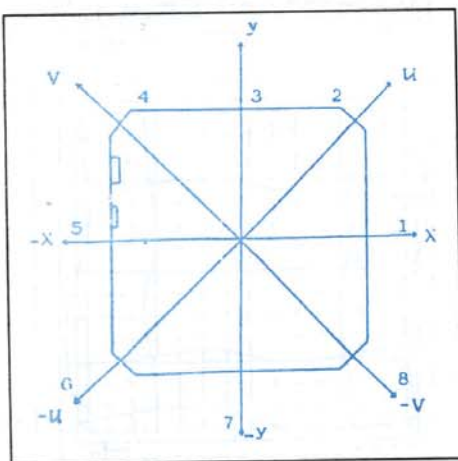
نگاره (۱)



نگاره (۳)

۲-۲- اعوجاج شعاعی عدسی:

اعوجاج شعاعی عدسی، مفاصله شعاعی بین موقعیت حقیقی و واقعی نقطه تصویر ناشی از ماهیت عدسی می‌باشد که می‌توان با استفاده از یک چند جمله‌ای درجه سه یا پنج یا فقط برای تقریب اعوجاج استفاده نمود که برای عکس‌های KFA-1000 چند جمله‌ای درجه پنج به صورت $\Delta R = c_1 r + c_2 r^3$ جوابگوی می‌باشد اعوجاج شعاعی عدسی‌های این دوربین بالا و حتی در گوشش‌های عدسی به مقادیر ۹۹٪ میکرون نیز می‌رسد. مقادیر اعوجاج شعاعی عدسی در ۸ جهت مختلف (نگاره ۴) با دقت ۱۰ میکرون در گزارش کالیبراسیون دوربین داده شده‌اند. متغیرها در شعاع طولهاینا ۱۴۰ میلی‌متر و ۱۸۴ میلی‌متر و حتی در مواردی تا ۲۰۰ میلی‌متر از مبداء مختصات داده شده‌اند.



نگاره (۴) در ۸ جهت مقادیر اعوجاج شعاعی عدسی داده می‌شود.

دوره هفتم، شماره بیست و هفتم / ۴۳

است. عوارض خطی نظیر راههای پارکت از ۳ متر در صورت وجود کنترast کافی بر روی این تصاویر قابل رویت می‌باشدند.
(Dilli sirKia Anita Laiho 1989)

عکسها دارای پوشش طولی ۷۶٪ می‌باشد و با توجه به فاصله کانونی حدود یک متر و ارتفاع پرواز تقریباً ۲۷۰ km مقیاس هر عکس در حدود ۱:۲۷۰,۰۰۰ می‌باشد و با توجه به ابعاد ۳۰×۳۰ cm² هر عکس، متنطبق مورد پوشش آن تقریباً ۸۰×۸۰ km² معادل ۶۴۰,۰۰۰ km² می‌باشد و با توجه یافته کل منطقه دریک لحظه برروی فیلم ثبت شده است از این جهت برای تعییر و تفسیر بسیار حائز اهمیت است. جهت پرواز این عکس‌های فضائی درجهت شمالی - جنوبی است در حالی که جهت پرواز هواپیما برای عکس‌های هوایی همان معمولاً در جهت شرقی غربی می‌باشد.

عکس‌های KFA-1000 دارای ۵ فیدوشال مارک ۴، عدد در مراکز هر طرف و یک عدد در مرکز عکس می‌باشد (نگاره ۴). از این رو ترانسفورماتیون‌های Conformal, Affine و Projective به فیدوشال مارکها قابل انجام است. البته برخلاف عکس‌های هوایی فیدوشال مارکها بر روی عکس واقع شده‌اند و نه در حاشیه. از این رو در مناطق که زیسته عکس تبره باشد نقاط فیدوشال مارک قابل تشخیص نمی‌باشدند و باعث مشکل در مرحله توجیه داخلی می‌گردد. در جدول شماره ۱ - مقایسه قیمت تصاویر و عکس‌های فضائی درج شده است (Konecny ۱۹۹۲).

متوجه	قیمت دربر km ²	قدر نمکیک	ساخت موردهوش	قیمت برای هر تصویر
LandsatTM	0.15\$	30m	185×170 km	5180 \$
SpotP	0.87\$	10m	60×60km	3133\$
SpotS	0.69\$	20m	60×60km	2487\$
KPA-1000	0.18\$	5m	80×80km	1150\$

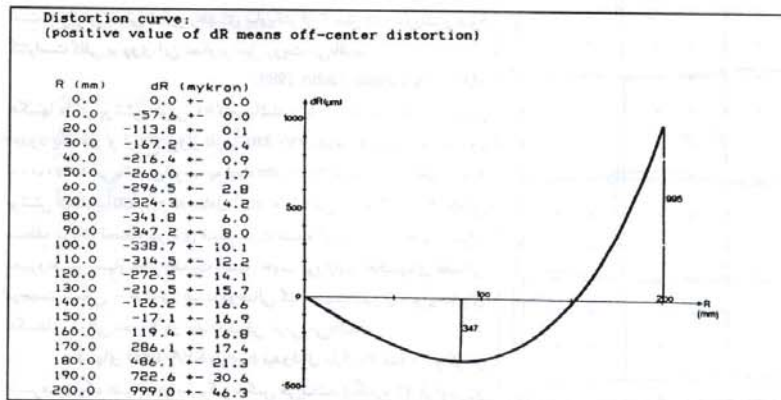
۲) حذف خطاهای سیستماتیک عکس‌های KFA-1000

در نگاره ۳ - خطاهای سیستماتیک، عکس KFA-1000 منطقه تست Montpellier مشخص شده است در ادامه به شرح و نحوه حذف برخی از خطاهای سیستماتیک آن می‌پردازیم.

۱-۱- تغییر بعد فیلم:

پایه فیلم به دلایل مختلفی نظیر تغییر درجه حرارت، رطوبت، طول زمان، هنگام ظهر و نیوت و نگهداری وغیره ممکن است تغییر نمود یابد، این تغییر ممکن است یکنواخت و یا غیر یکنواخت باشد. با استفاده از روابط ترانسفورماتیون دو بعدی Affine و Projective تغییر بعد یکنواخت و غیر یکنواخت خطی قابل رفع است.

نگاره (۵)
مقادیر میانگین
اعوجاج عدسی
KFA-1000
و منحنی آن

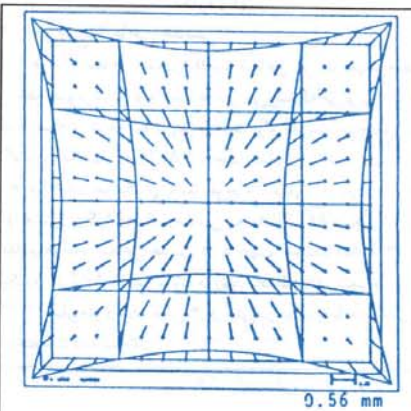


اعوجاج شدید بصورت نامتقارن است. در یک فاصله پکسان در طول شعاعها، تفاوت متغیرهای اعوجاج به بیش از ۵۰۰ میکرون می‌رسد. در نتیجه انجام درون یابی و (برون یابی) غیردقیق خواهد بود. در نگاره ۵ مقادیر میانگین اعوجاج عدسی به همراه منحنی آن مشاهده می‌شود.

در نگاره (۶)، خطای اعوجاج عدسی در عکس KFA-1000 و بعد از حذف خطای اعوجاج عدسی نشان داده شده است.

۳-۲- تصحیحات مربوط به انکسارجوسی:

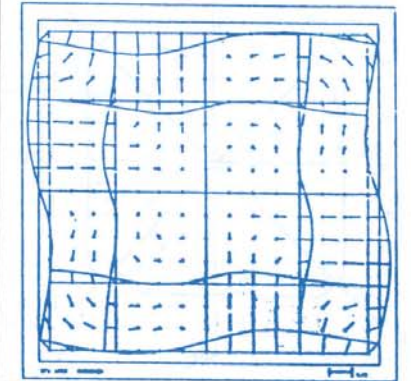
طبق قانون شکست، هرگاه نور را از یک محیط به محیط دیگر با غلظت متفاوت منتشر گردد دچار شکست می‌شود و موجب انتشار امواج برروی مسیری منحنی، خواهد شد. اما با توجه به اینکه در عکس‌ها و تصاویر ماهواره‌ای بیشترین مسیر نور در خلاء می‌باشد. و تصحیح انکسار کمتر از ۲ میکرون است، از این رو قابل صرفنظر می‌باشد (Jacobsen ۱۹۹۲ و).



۴-۲- کرویت زمین:

اگر سیستم مختصات شیء، یک سیستم سه بعدی اورتогонаال باشد، تصحیح کرویت زمین الزامی نمی‌باشد. البته معمولاً سیستم مختصات زمینی غیر اورتогоناال می‌باشد. اما اگر سیستم کارتزین برای مختصات زمینی در نظر گرفته شود در آن موقع ضروری است تا اعوجاج تصویر به علت انحنای سطح زمین در نظر گرفته شود که عبارت است از $dr = \frac{H' r^3}{4RF^2}$

که در آن H' ارتفاع پرواز از سطح زمین، r فاصله شعاعی از نقطه مرکز عکس تا نقطه تصویر، R شعاع زمین معادل 6372300 متر و F فاصله کانونی دوربین عکسبرداری است که در بیشترین حالت آن $\sqrt{15^2 + 10^2} = 17$ cm است با $dr = 17/1000$ mm (خطای کرویت زمین برروی عکس).



نگاره (۶) خطای اعوجاج عدسی و بدون اعوجاج عدسی

۴) روش‌های تصحیح هندسی و ارزیابی دقت هندسی عکس‌های KFA-1000

۱-۴) ترانسفورماتیون پروژکتیو دو بعدی:

این ترانسفورماتیون دو بعدی هشت پارامتری، یک سیستم مختصات دو بعدی را به سیستم مختصات دیگر تصویری نماید و نقطه‌ای را به عنوان مرکز تصویر در نظر می‌گیرد. مدل ریاضی آن عبارت است از:

$$X = \frac{a_1x + b_1y + c_1}{a_2x + b_2y + 1}$$

$$Y = \frac{a_3x + b_3y + c_3}{a_4x + b_4y + 1}$$

و یا به صورت ماتریسی خواهیم داشت:

$$\begin{bmatrix} X \\ Y \end{bmatrix} = \begin{bmatrix} x & 0 & -xX & y & 0 & -yx & 1 & 0 \\ 0 & x & -xY & 0 & y & -yY & 0 & 1 \end{bmatrix} \begin{bmatrix} a_1 \\ a_2 \\ a_3 \\ b_1 \\ b_2 \\ b_3 \\ c_1 \\ c_2 \end{bmatrix}$$

به کمک ترانسفورماتیون فوق می‌توان از فضای دو بعدی عکس به فضای سه بعدی زمین (زمین باارتفاع بکسان) و بالعکس انتقال یافت. این ترانسفورماتیون باورگذگی مهم فوق کاربردهای فراوانی در زمینه فتوگرامتری تحلیلی از جمله ترمیم (Rectification) دارد.

۲-۴) ترانسفورماتیون پروژکتیو سه بعدی (DLT):

ترانسفورماتیون پروژکتیو سه بعدی که به روش *Direct Linear Transformation* DLT موسوم است. در اصل توسط Karara و Aziz در سال ۱۹۷۹ میلادی بیشتر به منظور استفاده عکس‌های غیرمتربیک در کاپرهای بردکوتاه (Close-range) فتوگرامتری، پکارگرفته شد. مدل ریاضی آن عبارت است از:

$$X = \frac{L_1x + L_2y + L_3z + L_4}{L_5x + L_6y + L_7z + 1}$$

$$Y = \frac{L_5x + L_6y + L_7z + L_8}{L_5x + L_6y + L_7z + 1}$$

L_1, L_2, \dots, L_8 یازده پارامتر خطی توجیه است که ارتباط بین تصویر دو بعدی و زمین سه بعدی را فراهم می‌نماید. این پارامترها توسط برنامه پانل اجصحت مناسب و نقاط کنترل زمینی به تعداد کافی می‌توانند محاسبه شوند. این معادلات را می‌توان همانند شروط هم خطی پکاربرد و ارتفاع زمینی نقاط عکس را بزرگ محاسبه نمود. مدل ریاضی فوق جهت تصحیح هندسی و تعیین مختصات زمینی عکس‌های KFA-1000 مناسب

دوره هفتم، شماره بیست و هفتم / ۴۵

۳- روش‌های توجیه داخلی عکس‌های KFA-1000

۱-۳) ترانسفورماتیون Conformal:

ترانسفورماتیون دو بعدی چهار پارامتری است که ترانسفورماتیون از یک فضای دو بعدی به فضای دو بعدی دیگر ممکن می‌سازد. که مدل ریاضی آن عبارت است از:

$$X = ax + by + c$$

$$Y = ay - bx + d$$

و با فرم ماتریسی آن عبارت است از:

$$\begin{bmatrix} X \\ Y \end{bmatrix} = \begin{bmatrix} x & y & 1 & 0 \\ y & -x & 0 & 1 \end{bmatrix} \begin{bmatrix} a \\ b \\ c \\ d \end{bmatrix}$$

با توجه به خطای تغییر بعد عکس‌های KFA-1000، این روش جهت توجیه داخلی مناسب نمی‌باشد.

۲-۳) ترانسفورماتیون Affine:

این ترانسفورماتیون دو بعدی شش پارامتری، شامل ضرب مقياس درامتداد و محور X, Y نیز می‌باشد. مدل ریاضی فوق علاوه بر توجیه داخلی، تصحیح تغییر بعد فیلم و تصحیح عدم قائم بودن محورهای که بازتاب را بین انجام می‌دهد و مدل ریاضی آن به صورت

$$X = ax + by + c$$

$$Y = cx + dy + f$$

و با فرم ماتریسی آن عبارت است از:

$$\begin{bmatrix} X \\ Y \end{bmatrix} = \begin{bmatrix} x & y & 0 & 1 & 0 \\ 0 & 0 & x & y & 0 \end{bmatrix} \begin{bmatrix} a \\ b \\ c \\ d \\ e \\ f \end{bmatrix}$$

در عمل با توجه داخلی ۸ عکس KFA-1000 به روش Affine به دقت بهتر از ۱ میکرون برای هر عکس رسیدیم.

۳-۳) ترانسفورماتیون پروژکتیو (projective): دو بعدی:

معادلات ریاضی آن دریختش (۴-۱) شرح داده می‌شود. در صورت وجود و فرات تمامی فیدوشال مارکهای عکس KFA-1000 (پنج عدد) انجام ترانسفورماتیون Projective می‌باشد که در عمل بهترین روش توجیه داخلی می‌باشد.

$$X + \Delta X_p = f \left[\frac{m_{11}(X_A - X_C) + m_{12}(Y_A - Y_C) + m_{13}(Z_A - Z_C)}{m_{11}(X_A - X_C) + m_{12}(Y_A - Y_C) + m_{13}(Z_A - Z_C)} \right]$$

$$Y + \Delta Y_p = f \left[\frac{m_{21}(X_A - X_C) + m_{22}(Y_A - Y_C) + m_{23}(Z_A - Z_C)}{m_{21}(X_A - X_C) + m_{22}(Y_A - Y_C) + m_{23}(Z_A - Z_C)} \right]$$

KFA-1000 آزمایش‌های انجام شده بر روی عکس‌های ۴-۴ و دقت‌های بدست آمده: در جدول ۲ تعدادی از پروژه‌های مربوطه به تست دقت هندسی عکس‌های KFA-1000 را مشاهده می‌نمایید.

	دقت مسطح‌هایی X(m) Y(m)	دقت ارتفاعی Z(m)	تعداد عکس‌های KFA-1000
Iarmaalen & Johansen	۹	-	۱
Jacobsen	۱۸/۶ ۲۰/۴	۴۶/۳	۲
Jacobsen & Moller	۸/۱ ۵/۴	۳۶/۳	۳
Konecny et al	۱۰/۷ ۱۰/۵	۲۹/۹	۴
Sirkia & Laiho	۹/۵ ۵/۶	۵۰	۵
صادقیان	۵/۴ ۸/۱	-	۸

جدول (۲) نتایج تست‌های دقت هندسی عکس‌های KFA-1000

پروژه عملی انجام شده توسط نگارنده با استفاده از ترانسفورماتیون پروژکسیون دو بعدی است که پس از در سترنس قرار گرفتن یک بلوک شامل ۸ عدد عکس KFA-1000 در دو نواحی پوشش طولی و پوشش عرضی ۱۵٪ نشانایی و اندازه گیری نقاط کنترل زمینی از روی یازده مدل حاصل از دیابوژنیوهای به مقیاس ۱:۴۰۰۰ با دستگاه تبدیل تحلیلی DSR14 انجام و مشکل ابعاد بزرگ عکس‌های KFA-1000 بر طرف گردید. مراحل تهیه، ترانسف و قرائت مثبت بندی نقاط با استگاه ۵ PUG متعلق به کامپیوتر انجام گردید. با توجه به مسطح بودن منطقه مطالعاتی (خوزستان) و خطای ارتفاعی عکس‌های KFA-1000 به دلیل نسبت کوچک بازه ارتفاع پهلوان (از ترانسفورماتیون پروژکسیون استفاده گردید که دقت مطلق (برای نقاط چک) بدست آمده عبارت است از $S_5 = ۵/۲۶$ و $S_8 = ۸/۱۲$) در حد ذات ادعای شده توسط شرکت تهیه کننده عکس‌های فضایی KFA-1000 می‌باشد.

در نگاره (۷) وضعیت عکسها و نقاط کنترل زمینی و باقیمانده‌های منظمه در Montpellier توسط Jacobsen نشانه شده است، مشخص گردیده است.

در نگاره (۸) بررسی مقایسه ای دقت هندسی عکس‌های فضایی مختلف و تصویر فضایی Spot نمایش داده شده است.

می‌باشد. حتی در سال ۱۹۹۶ میلادی دکتر Novak و El-Manadili مدل ریاضی به منظور صحیح هندسی تصاویر پوششی اسپات براساس مدل ترانسفورماتیون پروژکسیون پس بعدی (DLT) ارائه نمودند.

۴-۳-۳) شرط هم خطی و باندل اجستمنت با پارامترهای اضافی: شرط هم خطی بیان می‌کند که برای هر عکس، نقطه تصویر، مرکز تصویر و شیء، باید بر یک خط مستقیم قرار گیرند. مدل ریاضی آن عبارت است از:

$$X_a = f \left[\frac{m_{11}(X_A - X_C) + m_{12}(Y_A - Y_C) + m_{13}(Z_A - Z_C)}{m_{11}(X_A - X_C) + m_{12}(Y_A - Y_C) + m_{13}(Z_A - Z_C)} \right]$$

$$Y_a = f \left[\frac{m_{21}(X_A - X_C) + m_{22}(Y_A - Y_C) + m_{23}(Z_A - Z_C)}{m_{21}(X_A - X_C) + m_{22}(Y_A - Y_C) + m_{23}(Z_A - Z_C)} \right]$$

معادلات فوق دارای ۱۲ عنصر مستقل می‌باشند که عبارتند از: مختصات تصویری (X_a و Y_a)، مختصات زمینی مرکز تصویر (X_C و Y_C و Z_C)، مختصات زمینی نقاط (X_A و Y_A و Z_A)، عناصر دوران (φ, ω, κ) که به صورت ضمنی در عناصر ۱۱ تا ۳۳ وجود دارند.

بک مشکل هنگام بکارگیری شرط هم خطی، بمنظور حل معادلات به روش کمترین مربعات، غیرخطی یودن آن است. از این رو باید معادلات را خطی نمود. شکل ساده و خطی شده معادلات با استفاده از قضیه تیلور به صورت زیر می‌باشد:

$$dx = c_{11}d\varphi + c_{12}d\omega + c_{13}d\kappa + c_{14}dx_c + c_{15}dy_c + c_{16}dz_c + c_{17}dx_A + c_{18}dy_A + c_{19}dz_A + c$$

$$dy = c_{21}d\varphi + c_{22}d\omega + c_{23}d\kappa + c_{24}dx_c + c_{25}dy_c + c_{26}dz_c + c_{27}dx_A + c_{28}dy_A + c_{29}dz_A + d$$

شرط هم خطی اساس محاسبات سرشکنی دسته اشعه‌ای (Bundle Adjustment) می‌باشد. باندل اجستمنت در سراسر خطاهای سیستماتیک بسیار ساده‌تر از بلوک اجستمنت به روش مدل‌های مستقل می‌باشد چون در هنگام ساختن مدل به صورت محاسباتی و یا عملی در دستگاه‌های فتوگرامتری، بسیاری از خطاهای سیستماتیک حذف می‌گردند در حالی که در محاسبات عکس این خطاهای باقی می‌مانند. این مسأله یکی از دلایلی بوده است که قبل از مشاهده می‌گردید، دقت حاصل از سرشکنی دسته اشعه‌ای بادقت بررسی شده از نظر تصوری بسیار تفاوت دارد. امروزه با به کارگیری پارامترهای اضافی و حذف اثوماتیک خطاهای سیستماتیک، دقت سرشکنی دسته اشعه‌ای به حد مطلوبی رسیده و بادقت مورد انتظار آن مطابقت می‌نماید. روش باندل اجستمنت با پارامترهای اضافی موسم به روش "Self calibration" می‌باشد که مدل ریاضی آن عبارت است از:

KFA 1000

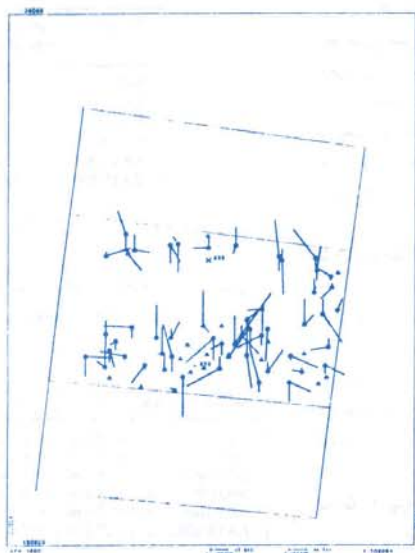
OEEPE
test area
Montpellier

bundle block
adjustment
program BLUH

53 points

SX=+/- 18.6m
SY=+/- 20.4m
SZ=+/- 46.3m

$\sigma_{\text{sigma}0}=+/- 20.8$

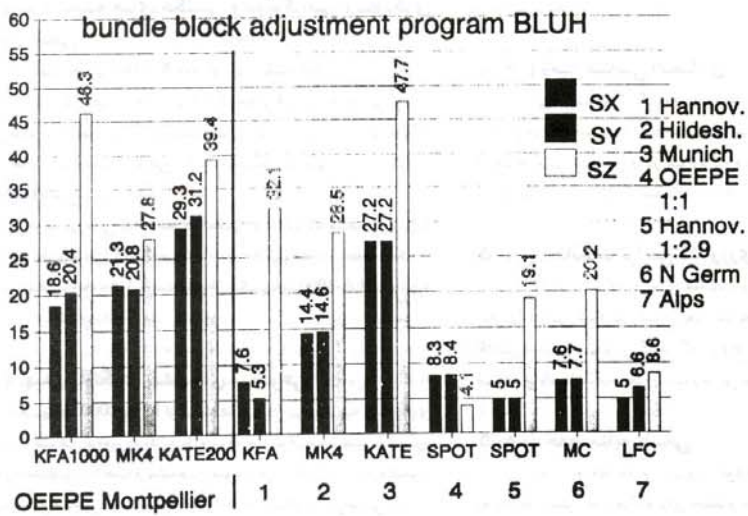


flying height =
273 km

image scale =
1 : 275 000

f = 1013 mm

accuracy of point determination



۵-۳) تحلیلهای جغرافیائی

یک عکس ماهواره‌ای به لحاظ منعکس نمودن ساختهای جغرافیائی نقش بسیار بارزی در ارائه یک تحلیل موقبیت آمیز از فضای جغرافیائی ایفای می‌کند.

تحلیل همین ساختها و نظامها است که به آمایش فضا انتظام می‌بخشد و راهگشای طرحهای جامع شهرستان می‌باشد به عنوان مثال امکان بررسی وضعیت شبکه آبهای روان، ساخت زمین شناسی، ساخت زراعی، گسترش یک پدیده مضر و تاثیرات نامناسب آن وجود دارد.

۵-۴) مطالعات ژئومورفولوژی (شناخت پیکرزمین)

از آنجاکه پدیده‌های ژئومورفیک و ژئولوژیک ناجه و سیعی را شامل می‌شوند و عکسها ماهواره‌ای نیز با داشتن پوشش وسیع از ویژگی خاص در این زمینه برخوردارند. دید وسیع یک پارچه آن امکان تشخیص پدیده‌ها و تأثیر متقابل پدیده‌های مختلف را میسر می‌سازد، و می‌توان با توجه به تواتر عکسها در زمانهای مختلف تغییرات را در طول زمان مطالعه نمود.

۵-۵) تهیه نقشه کاربری اراضی

ابن تصاویر با قدرت تفکیک بالا درایر قابلیت مشخص محدوده اینواع کاربریها انم از زراعت آبی، دیمی، مراث، ثالاب، باتلاق، نواحی صنعتی، تاسیسات شهری، اراضی باری، اراضی چنگالی، خطوط ارتساطی و... می‌باشدند. از روی عکسها KFA-1000 می‌توان نقشه کاربری اراضی شهرستان را تهیه نمود به نحوی که از کیفیت مناسبین در مطالعات کالبدی برخوردار باشد.

۵-۶) زمین شناسی اقتصادی

تهیه نقشه برآنکنگی معدن به عنوان قابلیتها که بک شهرستان از آن برخوردار است با استفاده از عکسها KFA-1000 و کمک گرفتن از نقشه زمین شناسی و در موارد لزوم بازدیدهای محلی قابل تهیه می‌باشد.

۵-۷) مطالعات نواحی کشاورزی - رستaurان

اگر در چند دوره زمانی مختلف و ضعیت اراضی کشاورزی از روی عکسها بررسی شود به وضوح تغییرات به وجود آمده در زمینه افزایش کاهش سطح زمینهای زیرکشت که در واقع نشانی از تغییرات صورت گرفته مساعد یا نامساعد محبطی باشد، رخ می‌نماید.

۵-۸) حفظ منابع طبیعی

تفسیر و مطالعه عکسها ماهواره‌ای می‌تواند شناخت ما را نسبت به محیط بیشتر کند، چراکه برای حفظ و نگهداری محیط زیست، شناسائی ویژگیهای آن اهمیت بسزائی دارد.

من توان نگاره (۸) را به صورت جدول ۳ خلاصه نمود.

Sensor	ground resolution in pixel equivalents
MC	8-16 m
LFC	5-12 m
Spot P	10 m
Spot XS	20 m
KFA 1000	3- 5 m
KATE 200	12-20 m

جدول (۳)

در جدول شماره ۴ اندازه پیکسل معادل با قدرت تفکیک زمینی عکسها ماهواره‌ای با اندازه پیکسل تصاویر Spotp Spotxs مقایسه شده است.(Konecny ۱۹۹۲ میلادی و

Sensor	h/b	σ_x	σ_y	σ_z	area
MC	3	\pm 7.6 m	\pm 7.7 m	\pm 20.2 m	N. Germany
LFC	1	\pm 5 m	\pm 6.6 m	\pm 8.6 m	Alps
SPOT-P	3	\pm 5 m	\pm 5 m	\pm 19.1 m	Hannover
SPOT-P	1	\pm 8.3 m	\pm 8.4 m	\pm 4.1 m	Grenoble
KFA 1000	6	\pm 7.6 m	\pm 5.3 m	\pm 32.1 m	Hannover
KATE 200	2	\pm 27.2 m	\pm 27.2 m	\pm 47.7 m	Munich

جدول (۴)

۵- کاربردهای عکس

۱-۱) تهیه نقشه‌های عکسی و توپوگرافی و بازنگری نقشه‌های خطی

عکس‌های فضائی KFA-1000 برای تهیه نقشه عکسی و بازنگری نقشه‌های خطی، در مقیاس ۱:۵۰۰۰ و کوچکتر قابلیت فراوانی دارند حتی می‌تواند به منظور بازنگری مسطحانی نقشه ۱:۲۵۰۰۰ مورد استفاده قرار گیرد. اما به عنلت دقت ارتفاعی پائین، مناسب برای تهیه مدل رقمی زمین (DTM) نمی‌باشد.

می‌توان در زمانی کوتاه بخش اعظمی از کشور که مناطق کوهی و بیابانی و کم عارضه تقریباً به مساحت ۶۰۰۰ کیلومترمربع نقشه عکسی فضائی به مقیاس ۱:۱۵۰۰۰ با استفاده از عکسها KFA-1000 را تهیه نمود.

۲-۵) تهیه و بازنگری نقشه‌های موضوعی

عکس‌های از قابلیت خوبی برای تهیه و بازنگری نقشه‌های موضوعی برخوردارند به طوری که می‌توان به تعبیر و تفسیر پدیده‌های مختلف پرداخت و نقشه‌های موضوعی باارزشی تهیه نمود. نقشه‌های موضوعی درصورتی که وارد تحلیلهای جغرافیائی شوند می‌توانند گویای بسیاری از مطالعه باشند.

حتی ترکیب این عکسهای ماهواره‌ای توانایی برآورده نمودن
پیازهای تفسیری نقشه‌های اورتوگراف در مقیاس $1:10000$ را دارند
(سال ۱۹۹۵ میلادی Csaplovics).

- عکسهای فضائی KFA-1000 برای تهیه نقشه عکس و بازنگری
نقشه‌های خطی در مقیاس $1:50000$ و کوچکتر قابل استفاده فراوانی
دارند و حتی می‌تواند به منظور بازنگری مسطوحانی نقشه
دانند و مورد استفاده قرارگیرد.

□ ۱:۲۵۰۰۰

۴-۵) تفکیک نواحی شهری و روستائی

با استفاده از عکسهای 1000-KFA می‌توانیم موقعیت روستا و
شهرها را در ارتباط با عوارض زمین مشخص نماییم، می‌توانیم ابعاد و اندازه
سکونتگاهها، جهات توسعه آنها، نوع بافت (اعم از تراکم و یا غیر تراکم) و
شکل توسعه (منفصل یا متصل) را دقیقاً مشخص سازیم.

۶- نتیجه گیری

۱-۶) معایب عکسهای KFA-1000

- پایین بودن $B:N=0/12$ موجب دقت ارتفاعی پایین و عدم دید
برجسته بین خوب می‌گردد.
- با توجه به فاصله کانونی زیاد 100 میلی متر، عدسی دارای اعوجاج
شعاعی بالا است.
- ابعاد بزرگ و غیراستاندارد ($30 \times 30\text{ cm}$) عکسها موجب می‌شود
نمونه‌های اصلی آن قابل استفاده در دستگاه‌های تحلیلی متداول
فتوگرامتری نباشد.
- دارای انحراف $\pm 8^\circ$ از محور قائم است (دوران امگا).
- در عکسهای KFA-1000 مراحل ظهور ثبوت و پردازش عکس و
نحوه نگهداری تصاویر بسیار با اهمیت هستند.
- کمی‌های متعدد از روی فیلم باعث تضعیف کیفیت و دقت هندسی
داده‌ها می‌گردد

۲-۶) مزایای عکسهای KFA-1000

- قدرت تفکیک زمینی نسبتاً بالا.
- قابلیت تهیه عکسهای سیاه و سفید و رنگی ماهواره‌ای KFA-1000
در ایران وجود پوشش سراسری آن.
- از نظر تعبیر و تفسیر پدیده‌ها، عکسهای KFA-1000 نتیجه بهتری
رانشیت به دیگر عکسهای فضائی MC و LFC و KATE200 و
MKF6 و MK4 و همچنین تصاویر فضائی نظری Spot بدست
(Konecny و Jacobsen 1988) می‌دهد.
- کاهش خطای ناشی از جایگاهی اختلاف ارتفاع به علت ارتفاع زیاد.
- صرفه‌جویی در زمان و مزینه به منظور پوشش برای مانع وسیع و
لزوم بسیار کمتر موزاییک نمودن.
- سیستم تصویربرداری KFA-1000 یک سنجنده با قاب ابتدی است
و نسبت به سنجنده SPOT که سنجنده‌ای خط به خط است
ارجحیت دارد. در سیستم KFA-1000 مسائلی مثل انتقالها و
تعییرات توجیه‌های متوالی سنجنده وجود ندارد.
- با توجه به پوشش وسیع هر عکس، $640 \times 640\text{ km}$ کیلومترمربع، با ثابت
بدون وضعیت نوری، برای تعبیر و تفسیر بسیار مفید می‌باشد.
- ترکیب عکسهای KWR-1000 با عکسهای KAF-1000 منجر به
تهیه عکس نقشه فضائی رنگی با قدرت تفکیک بالا می‌شود که

- منابع:
- (۱) سعید صادقیان، سال ۱۳۷۵ شمسی، مثبت‌بندی عکسهای ماهواره‌ای KFA-1000 پایان نامه کارشناسی ارشد.
 - (۲) سعید صادقیان، تابستان سال ۱۳۷۶ شمسی، سنجنده‌ها، عکسها، تصاویر ماهواره‌ای و عوامل عدم استحکام آنها، نشریه سپهر.
 - (۳) وحید مظاہری، سال ۱۳۷۴ شمسی، بررسی دقت مسطوحانی و ارتفاعی عکسهای ماهواره‌ای KFA-1000 پایان نامه کارشناسی ارشد.
 - (۴) حمید مالکیریان، تابستان سال ۱۳۷۶ شمسی، تهیه نقشه‌های موضوعی با تصاویر ماهواره‌ای (قسمت دوم)، نشریه سپهر.
 - (۵) ارجمند سروز، زمستان سال ۱۳۷۴ شمسی، تحلیل مقدماتی از کاربردهای تصاویر ماهواره‌ای COSMOS (KFA-1000) در طرحهای توسعه، نشریه سپهر
 - 6) Olli SirKia and Anita Laiho, (1989), An investigation of the geometric Properties of the Soviet KFA-1000 space images.
 - 7) BaKer, (1991), An investigation of the geometric properties and information content of the KFA-1000, KATE-200 MK4 space photography.
 - 8) Csaplovics (1995), High-resolution space photography for generating and update Large-scale orthophotomaps, ICA.
 - 9) Ivar Moalen, Jahansen (1991), Russian Satellite imagery of norway, an accuracy investigation of KFA-1000.
 - 10) Konecny (1992), mapping from space.
 - 11) M.J.ValadanZoej (1996), three dimensional mathematical modelling of linear array stereo imagers (cross-track case), NCC Journal.